

Б.С. ВОРОНЦОВ, к.т.н., доцент каф. ТМ ВНУ им. В. Даля, г. Луганск

МАТЕМАТИЧЕСКОЕ ОБЕСПЕЧЕНИЕ ИНТЕРАКТИВНОГО СИНТЕЗА ПЕРЕДАЧ ЗАЦЕПЛЕНИЕМ

Розроблено математичне забезпечення інтерактивного синтезу передач зацепленням. Новий підхід до управління параметрами дозволяє підвищити ефективність процесу синтезу за рахунок максимального використання можливостей сучасних комп'ютерних технологій.

Mathematical provision of interactive gear engagement synthesis has been developed. New approach to parameter control allows for synthesis process effectiveness increase due to maximum use of modern computer technologies possibilities.

Постановка проблеми. Важнішою предпосилкою автоматизації процеса проєктування є можливість знаходження оптимального варіанта технічного рішення. Оптимізація, як вибір найкращого варіанта серед некотого множества, передбачає наявність правила переваги одного варіанта іншому, яке називається критерієм оптимальності. В основі побудови правила переваги лежить цільова функція, кількісно виражаюча якість об'єкта і тому називана також функцією якості.

Для параметрическої оптимізації постановка задачі виглядає слідуючим образом:

Імеється вектор $\mathbf{X}=(x_1, x_2, \dots, x_n)$ незалежних внутрішніх параметрів, значення яких однозначно визначають всі характеристики изделия, в тому числі цільову функцію і функціональні обмеження. Таким чином, цільова функція і функції обмежень залежать від внутрішніх параметрів.

В процесі оптимізації частина незалежних внутрішніх параметрів підвергається змінам в заданих межах. Такі параметри називаються управляемими, а межі їх зміни – параметрическими обмеженнями.

В задачах синтеза передач зацепленням вибір оптимального рішення сводиться до вибору найкращої геометрії робочих поверхонь зубьев зацеплених колес. При цьому окрім робочих поверхонь зубьев використовуються і інші поверхні, такі, як производящі, поверхні зацеплення. Між цими поверхнями існують різноманітні зв'язки (огиблі, функціональні, скривлені), які визначають залежність одніх поверхонь від інших.

Поэтому в качестве управляемых параметров можно выбрать те параметры, которые управляют формой одной из взаимозависимых поверхностей. В качестве таких поверхностей могут служить как вышеперечисленные поверхности, так и различные вспомогательные поверхности, функционально связанные с синтезируемым объектом.

Аналіз літератури. Розроблені теорії синтезу передач зацепленням посвячені працям російських та зарубіжних науковців [1-4]. Применение

комп'ютерних технологій значително підвищує ефективність створення нових видів передач. Це підтверджують праці [5, 6]. В праці [7] приведений аналіз математичного обслуговування, яке широко використовується при створенні сучасних комп'ютерних систем поверхневого та твердотельного моделювання. Однак до настоящого часу недостатньо розроблено математичне та методичне обслуговування систем інтерактивного комп'ютерного синтеза передач зацепленням.

Целью даної праці є розробка математичного обслуговування інтерактивного комп'ютерного синтеза передач зацепленням.

Основна частина. Форму будь-якої поверхні визначають параметрическі криві. Так в теорії зацеплень широко використовуються лінії, описуючі исходний контур виробляючої поверхні.

Для того щоб вибирати управляемі параметри завдання оптимізації зацеплень, необхідно проаналізувати математичне описание існуючих ліній та поверхонь та вибирати такі, які мали би ряд наступних переваг:

- дозволяли максимально використовувати сучасні досягнення комп'ютерних технологій в плані управління процесом синтезу та візуалізації результатів аналізу;

- управляемі параметри можна було би привести до єдиного вигляду, та їхній вибір можна було би зробити єдиним завданням синтезу та аналізу передач зацепленням;

- процес передачі інформації з синтезу в середовище твердотельного та поверхневого комп'ютерного моделювання не викликав би будь-яких затруднень, що дозволяло би створювати програмні пакети для існуючих CAD-систем.

Любую криву, представлена як аналітически, так і таблично, можна апроксимувати з достатньою точністю різного виду сплайнами. В якості універсального опису предлаштовані криві та поверхні Безье, які широко використовуються в системах автоматизованого проєктування та обладають цілим рядом властивостей, придатних для побудови математичних моделей управляемого синтезу та оптимізації передач зацепленням.

Уравнение кривой в параметрическом виде:

$$\begin{aligned} x_k &= f_1(\lambda, P_x) = (1-\lambda)^3 x_0 + 3(1-\lambda)^2 \lambda x_1 + 3(1-\lambda)\lambda^2 x_2 + \lambda^3 x_3; \\ y_k &= f_2(\lambda, P_y) = (1-\lambda)^3 y_0 + 3(1-\lambda)^2 \lambda y_1 + 3(1-\lambda)\lambda^2 y_2 + \lambda^3 y_3, \end{aligned} \quad (1)$$

где $P_x = (x_0, x_1, x_2, x_3)$, $P_y = (y_0, y_1, y_2, y_3)$ – векторы координат опорных и управляемых точек P_0, P_1, P_2, P_3 , λ – переменная величина $0 \leq \lambda \leq 1$.

Цю криву можна керувати з допомогою миші на екрані комп'ютера, змінюючи положення опорних точок P_0, P_3 та управляемих точок P_1, P_2 . Це дозволяє візуалізувати процес синтезу, проводити всесторонній динаміч-

мический анализ как геометрии синтезированных передач, параметров зацепления, так и функций качества задач синтеза и оптимизации. Положением управляющих точек можно также управлять с помощью диалоговых панелей, пошагово изменяя значение координат точек или задавая конкретные их значения. Поэтому в качестве управляемых параметров задач синтеза и оптимизации предлагается использовать координаты точек управляющих объектов.

Профильный угол исходного контура определяется из выражения:

$$\operatorname{tg} \alpha_n = \frac{f_1'(\lambda, P_x)}{f_2'(\lambda, P_y)},$$

где $f_1'(\lambda, P_x) = 3(-x_0 + 3x_1 - 3x_2 + x_3)\lambda^2 + 6(x_0 - 2x_1 + x_2)\lambda + 3(x_1 - x_0)$;
 $f_2'(\lambda, P_y) = 3(-y_0 + 3y_1 - 3y_2 + y_3)\lambda^2 + 6(y_0 - 2y_1 + y_2)\lambda + 3(y_1 - y_0)$,

- производные функций $f_1(\lambda, P_x)$ и $f_2(\lambda, P_y)$ по λ .

При анализе геометрии и выводе формул для определения функций качества необходимо знать вторые производные, которые имеют вид:

$$f_1''(\lambda, P_x) = 6(-x_0 + 3x_1 - 3x_2 + x_3)\lambda + 6(x_0 - 2x_1 + x_2);$$

$$f_2''(\lambda, P_y) = 6(-y_0 + 3y_1 - 3y_2 + y_3)\lambda + 6(y_0 - 2y_1 + y_2).$$

Уравнение станочного зацепления:

$$F_i = [\pm y_n(\mu, N) \pm \Omega_2 \cos \beta \mp R_i \varphi_i] \cdot \sin \alpha = 0, \quad (2)$$

где $\Omega_2 = \Omega_1 + f_2(\lambda, P_y)$; $\Omega_1 = \frac{f_1(\lambda, P_x) \cdot f_1'(\lambda, P_x)}{f_2'(\lambda, P_y)}$.

Уравнение поверхности станочного зацепления в параметрическом виде:

$$\begin{aligned} x &= f_1(\lambda, P_x); & y &= -\Omega_1 \cos \beta; \\ z &= z_n(\mu, N) - f_2(\lambda, P_y) \sin \beta. \end{aligned} \quad (3)$$

Для определения уравнений поверхностей зубьев нарезаемых колес необходимо представить уравнения поверхности станочного зацепления в системах координат S_1 или S_2 . Уравнения поверхностей контактирующих зубьев в системе координат S_i имеют вид:

$$\begin{aligned} x_i &= [f_1(\lambda, P_x) \pm R_i] \cos \varphi_i \pm \Omega_1 \cos \beta \sin \varphi_i; \\ y_i &= [R_i \pm f_1(\lambda, P_x)] \sin \varphi_i - \Omega_1 \cos \beta \cos \varphi_i; \\ z &= z_n(\mu, N) - f_2(\lambda, P_y) \sin \beta. \end{aligned} \quad (4)$$

Для определения функций качества многокритериального интерактивного синтеза и оптимизации передач зацеплением можно использовать следующие геометро-кинематические показатели:

- относительная скорость скольжения рабочих поверхностей;
- суммарная скорость перемещения точек контакта в направлении, перпендикулярном линии мгновенного контакта;
- коэффициент удельных скольжений;
- угол между относительной скоростью и направлением линии контакта;
- приведенная кривизна поверхностей зубьев в направлении, перпендикулярном линии контакта и др.

В качестве функциональных ограничений можно использовать:

- коэффициент перекрытия;
- условия подрезания зубьев;
- условия заострения зубьев и др.

Относительная скорость скольжения рабочих поверхностей зубьев:

$$V^{(12)} = (\omega_1 + \omega_2) f_1(\lambda, P_x) \sqrt{\operatorname{ctg}^2 \alpha \cos^2 \beta + 1}. \quad (5)$$

Суммарная скорость перемещения точек контакта в направлении, перпендикулярном линии контакта при $\omega_1 = 1 \text{ рад/с}$:

$$u_i = u_{\tau 1} + u_{\tau 2} = \frac{\sqrt{(f_1(\lambda, P_x))^2 + (f_2(\lambda, P_y))^2}}{\sqrt{(\Omega_2')^2 \cos^2 \beta + [(f_1'(\lambda, P_x))^2 + (f_2'(\lambda, P_y))^2]} \cdot \sin^2 \beta} \times \left[2R_1 + \frac{f_1(\lambda, P_x)}{f_2'(\lambda, P_y)} (\Omega_2' \cos^2 \beta + f_2'(\lambda, P_y) \cdot \sin^2 \beta) \cdot \left(1 - \frac{1}{u}\right) \right]. \quad (6)$$

Здесь $u = \omega_1 / \omega_2$ – передаточное число зубчатой пары.

Коэффициенты удельных скольжений:

$$\eta_i = \frac{\pm \frac{u+1}{u}}{\left(\frac{R_i f_2'(\lambda, P_y)}{f_1(\lambda, P_x) \cdot (\Omega_2' \cos^2 \beta + f_2'(\lambda, P_y) \cdot \sin^2 \beta)} \pm 1 \right)}. \quad (7)$$

Тангенс угла между относительной скоростью и направлением линии контакта имеет вид:

$$\operatorname{tg} \nu = \frac{\sqrt{(f_1'(\lambda, P_x))^2 + (f_2'(\lambda, P_y))^2}}{\sin \beta \cdot \cos \beta} \times \frac{\Omega_2' \cdot \cos^2 \beta + f_2'(\lambda, P_y) \cdot \sin^2 \beta}{f_2'(\lambda, P_y) \cdot \Omega_2' - \left((f_1'(\lambda, P_x))^2 + (f_2'(\lambda, P_y))^2 \right)}. \quad (8)$$

Приведенная нормальная кривизна контактирующих поверхностей зубьев в направлении, перпендикулярном линии контакта:

$$\chi_{\text{пр}} = \frac{(R_1 + R_2) \cdot f_2(\lambda, P_y)}{\left[\left(f_1'(\lambda, P_x) \right)^2 + \left(f_2'(\lambda, P_y) \right)^2 \right]^{\frac{3}{2}}} \times \frac{1}{\left[R_1 + \frac{f_1(\lambda, P_x)}{f_2'(\lambda, P_y)} (\Omega_2' \cdot \cos^2 \beta + f_2(\lambda, P_y) \cdot \sin^2 \beta) \right]} \times \\ \times \frac{\left[(\Omega_2')^2 \cos^2 \beta + \left((f_1'(\lambda, P_x))^2 + (f_2'(\lambda, P_y))^2 \right) \cdot \sin^2 \beta \right]}{\left[R_2 - \frac{f_1(\lambda, P_x)}{f_2'(\lambda, P_y)} (\Omega_2' \cos^2 \beta + f_2(\lambda, P_y) \cdot \sin^2 \beta) \right]}. \quad (9)$$

Как видно из приведенных формул, описание рабочих поверхностей зубьев и все приведенные геометро-кинематические показатели зависят от координат управляющих точек.

На основании предложенной теории и полученного математического обеспечения была разработана компьютерная программа, позволяющая осуществлять многокритериальный интерактивный синтез передач зацеплением. Интерфейс программы приведен на рисунке.

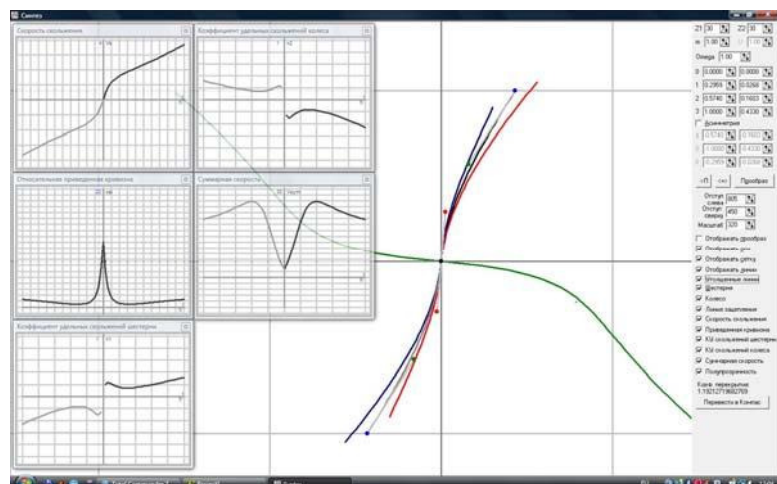


Рисунок – Интерфейс программы многокритериального интерактивного синтеза передач зацеплением

Выводы. Разработано математическое обеспечение многокритериального интерактивного синтеза передач зацеплением. Новый подход к управлению параметрами позволяет повысить эффективность процесса синтеза, унифицировать описание геометрии производящей поверхности, визуализировать дина-

мически изменяемые значения критериев синтеза, создавать компьютерные модули современных систем поверхностного и твердотельного моделирования.

Список литературы: 1. Litvin, F.L. Gear Geometry and Applied Theory. Prentice hall, Englewood Cliffs. – NJ, 1994. – 724с. 2. Шишов В.П. Високонавантажені циліндричні передачі з двоогукловігнутими зубцями. Монографія / В.П. Шишов, П.Л. Носко і др. – Луганськ: Вид-во СНУ ім. В.Даля, 2005. – 216с. 3. Павлов А.И. Современная теория зубчатых зацеплений. – Харьков: ХНАДУ, 2005. – 100с. 4. Шевелева Г.И. Теория формообразования и контакта движущихся тел. Монография. – М.: Изд-во "Станкин", 1999. – 494с. 5. Бабичев Д.Т. Развитие теории зацеплений и формообразования поверхностей на основе новых геометро-кинематических представлений: Дис. ... д-ра техн. наук: 05.02.18. – Тюмень, 2005. – 421с. 6. 3-D моделирование инструментов, формообразования и съема припуска при обработке резанием / Грабченко А.И., Кондурова Е.Б., Кривошея А.В., Равская Н.С., Родин П.Р. – Харьков: НТУ "ХПИ", 2001. – 304с. 7. Голованов Н.Н. Геометрическое моделирование. – М.: Изд-во физ. мат. лит., 2002. – 472с.

Поступила в редакцию 17.05.10

УДК 621.833

В.Л. ДОРОФЕЕВ, д.т.н., проф., ФГУП "ММПП "Салют", г. Москва, Россия
Д.В. ДОРОФЕЕВ, инженер ФГУП "ММПП "Салют"

А.Б. ЕДИНОВИЧ, нач. бригады ГП "Ивченко-Прогресс", г. Запорожье
А.В. КОРНЕЙЧУК, ведущий конструктор ГП "Ивченко-Прогресс"

ОСОБЕННОСТИ ПРОЕКТИРОВАНИЯ РЕДУКТОРОВ ДЛЯ САМЫХ МОЩНЫХ В МИРЕ УКРАИНСКО-РОССИЙСКИХ АВИАЦИОННЫХ ДВИГАТЕЛЕЙ

Розглянуто питання підвищення якості проектування редукторів авіаційних двигунів за рахунок оптимальної модифікації профілю зубців евольвентного зачеплення, розрахованого за допомогою програми ASGears. Представлені теоретичні основи рішення зворотної задачі теорії зачеплення, реалізовані в програмі ASGears.

There is discussed question of increasing quality of gearbox design by means of optimum tooth profile modification of involute mesh calculated with ASGears program. There are presented theoretical principles of the inverse problem solution of mesh theory realized in ASGears program.

Выкат первого военно-транспортного самолета НАТО A400M состоялся 26 июня 2008 г. более чем на полгода позже запланированного срока. Основной причиной задержки стали проблемы в разработке нового двигателя TP400-D6 компанией EuroProp International. Этот двигатель является самым мощным турбовинтовым авиационным двигателем, когда-либо созданным странами Запада – его мощность составляет 11 тысяч лошадиных сил.

Однако самым мощным турбовинтовым авиационным двигателем в мире является советский двигатель НК-12МП, который устанавливался на самолеты